### Chapitre XXII

#### PLAQUES ELASTIQUES

### LOIS DE COMPORTEMENT

### 1.1 THEORIE NATURELLE DES PLAQUES

Dans la théorie générale des plaques, les efforts intérieurs sont caractérisés par deux tenseurs symétriques Nas et Cas et un vecteur Q, , tandis que les déformations sont caractérisées par deux tenseurs symétriques das et has et un vecteur / , ces quantités étant mises en dualité par le travail des efforts intérieurs (XXI.44)

(1) 
$$\tilde{W}_{int} = -\iint_{S} \left[ N_{\alpha\beta} d_{\alpha\beta} + C_{\alpha\beta} k_{\alpha\beta} + Q_{\alpha} \gamma_{\alpha} \right] dS$$

La loi de comportement des plaques élastiques s'obtiendra comme en MMC au § V.1.1 et en RDM au § XVI.1.1 par une relation linéaire entre les efforts intérieurs et les déformations, cad par une matrice 8x8. Comme en MMC et RDM, nous ferons sur cette matrice les deux hypothèses habituelles de symétrie et de positivité. Ceci nous permet d'introduire une énergie de déformation définie positive

(2) 
$$\tilde{w}(N_{\alpha\beta}, C_{\alpha\beta}, Q_{\alpha}) = w(d_{\alpha\beta}, k_{\alpha\beta}, \gamma_{\alpha})$$

qui permet d'écrire les lois de comportement sous l'une des deux formes suivantes

(3) 
$$d_{\alpha\beta} = \frac{\partial \vec{w}}{\partial N_{\alpha\beta}} \qquad R_{\alpha\beta} = \frac{\partial \vec{w}}{\partial C_{\alpha\beta}} \qquad N_{\alpha} = \frac{\partial \vec{w}}{\partial Q_{\alpha}} \qquad Q_{\alpha} = \frac{\partial \vec{w}}{\partial Q_{\alpha}} \qquad Q_{\alpha}$$

De manière plus détaillée, on peut par exemple écrire

(5) 
$$\vec{w} = \frac{1}{2} A_{\alpha\beta\gamma\delta} N_{\alpha\beta} N_{\gamma\delta} + H_{\alpha\beta\gamma\delta} C_{\alpha\beta} N_{\gamma\delta} + \frac{1}{2} B_{\alpha\beta\gamma\delta} C_{\alpha\beta} C_{\gamma\delta} + E_{\alpha\beta\gamma} N_{\alpha\beta} Q_{\gamma} + F_{\alpha\beta\gamma} C_{\alpha\beta} Q_{\gamma} + \frac{1}{2} G_{\alpha\beta} Q_{\alpha} Q_{\beta}$$

avec les relations de symétrie suivantes

avec les relations de symétrie suivantes

$$\begin{cases}
A_{\alpha\beta\gamma\delta} = A_{\beta\alpha\gamma\delta} = A_{\alpha\beta\delta\gamma} = A_{\gamma\delta\alpha\beta} \\
H_{\alpha\beta\gamma\delta} = H_{\beta\alpha\gamma\delta} = H_{\alpha\beta\delta\gamma} \\
B_{\alpha\beta\delta\delta} = B_{\beta\alpha\gamma\delta} = B_{\alpha\beta\delta\gamma} = B_{\gamma\delta\alpha\beta} \\
F_{\alpha\beta\gamma} = F_{\beta\alpha\gamma}, \quad E_{\alpha\beta\gamma} = E_{\beta\alpha\gamma}, \quad G_{\alpha\beta} = G_{\beta\alpha}
\end{cases}$$

Les lois de comportement (3) donnent alors

(7) 
$$\begin{cases} d_{\alpha\beta} = A_{\alpha\beta\gamma\delta} N_{\gamma\delta} + H_{\gamma\delta\alpha\beta} C_{\gamma\delta} + E_{\alpha\beta\gamma} Q_{\gamma} \\ k_{\alpha\beta} = H_{\alpha\beta\gamma\delta} N_{\gamma\delta} + B_{\alpha\beta\gamma\delta} C_{\gamma\delta} + F_{\alpha\beta\gamma} Q_{\gamma} \\ \gamma_{\alpha} = E_{\gamma\delta\alpha} N_{\gamma\delta} + F_{\gamma\delta\alpha} C_{\gamma\delta} + G_{\alpha\beta} Q_{\beta} \end{cases}$$

cette forme générale faisant intervenir 36 coefficients.

Cependant, <u>nous nous intéressons</u> à des plaques homogènes, d'épaisseur constante, et constituées d'un <u>matériau élastique isotrope</u>. Ces plaques seront donc <u>isotropes</u>, et comme au § V.2.1 on peut montrer que la forme quadratique (5) n'introduit en fait que 7 coefficients

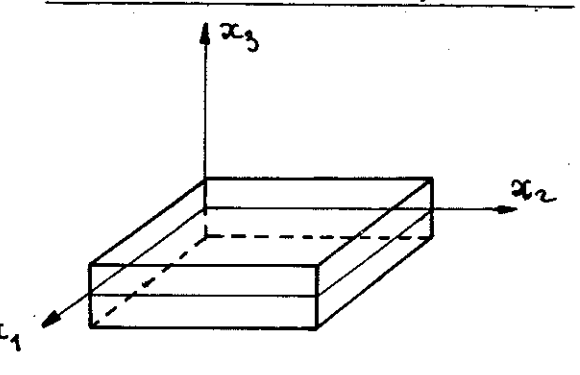
(8) 
$$\begin{cases} d^{*} = \frac{1}{2} \left( A_{A} N_{add} N_{\chi\chi} + A_{1} N_{al\beta} N_{al\beta} \right) \\ + \frac{1}{2} \left( B_{A} C_{ala} C_{\chi\chi} + B_{2} C_{al\beta} C_{al\beta} \right) \\ + H_{A} C_{ala} N_{\chi\chi} + H_{2} C_{al\beta} N_{al\beta} + \frac{1}{2} G Q_{al} Q_{al} \end{cases}$$

ce qui donne les lois de comportement

(9) 
$$\begin{cases} d_{\alpha\beta} = (A_1 N_{\gamma\gamma} + H_4 C_{\gamma\gamma}) \delta_{\alpha\beta} + A_2 N_{\alpha\beta} + H_2 C_{\alpha\beta} \\ R_{\alpha\beta} = (H_4 N_{\gamma\gamma} + B_4 C_{\gamma\gamma}) \delta_{\alpha\beta} + H_2 N_{\alpha\beta} + B_2 C_{\alpha\beta} \\ Y_{\alpha} = G Q_{\alpha} \end{cases}$$

Pour déterminer ces <u>7 coefficients</u>, il faudrait, comme nous l'avons fait <u>en RDM</u>, pouvoir <u>identifier la loi de comportement</u> (9) ou l'<u>énergie de déformation</u> (8) à partir de la <u>solution élastique</u> d'un <u>problème modèle</u>, càd d'un <u>problème</u> susceptible de jouer, pour la <u>théorie des plaques</u>, le rôle joué par le <u>problème</u> de Saint-Venant pour les milieux curvilignes.

### 1.2 LE PROBLEME ELASTIQUE MODELE



Nous considérons donc l'équilibre élastique d'une plaque homogène de hauteur h, et nous supposons que cette plaque est uniquement chargée sur sa périphérie: les forces de volume sont nulles et les faces supérieures et inférieures, x, = ± 1/2, sont libres de

contrainte. Nous devrons donc vérifier les équations d'équilibre

(10) 
$$\sigma_{i,j,\frac{1}{2}} = 0$$

et les conditions aux limites en  $x_3 = \pm \hbar/2$  (  $\vec{n} = \pm \vec{e}_3$ )

(11) 
$$\sigma_{\lambda 3} = 0 \qquad \alpha_3 = \pm \frac{\pi}{\hbar} / 2$$

Nous recherchons une solution <u>dépendant uniquement</u> de la <u>variable d'épais</u><u>seur</u> &

(12) 
$$\sigma_{ij} = \sigma_{ij} (x_3)$$
  $\lambda_{ij} = 1,2,3$ 

Les <u>équations</u> d'équilibre (10) montrent alors que  $\sigma_{13}$ ,  $\sigma_{23}$  et  $\sigma_{33}$  sont <u>constants</u>, et donc nuls d'après (11). Il reste donc <u>uniquement</u> les <u>composantes</u>

(13) 
$$\sigma_{\alpha\beta} = \sigma_{\alpha\beta}(x_3) \qquad \alpha, \beta = 1,2$$

Les <u>équations</u> de Beltrami en l'absence de forces de volume (VI.31) montrent alors directement que  $\sigma_{\alpha\beta}$  est <u>fonction linéaire</u> de  $\alpha_3$ 

$$\sigma_{\alpha\beta} = \alpha_{\alpha\beta} + x_3 b_{\alpha\beta}$$

A partir de ce <u>champ de contrainte</u>, on peut calculer les <u>efforts</u> intérieurs au sens de la <u>théorie des plaques</u>. Les équations (XXI.12) donnent alors avec (14)

(15) 
$$N_{\alpha\beta} = \int_{-h/2}^{+h/2} \sigma_{\alpha\beta} dx_{3} = h \alpha_{\alpha\beta}$$

$$C_{\alpha\beta} = \int_{-h/2}^{+h/2} x_{3} \sigma_{\alpha\beta} dx_{3} = \frac{h^{3}}{12} b_{\alpha\beta}$$

$$Q_{\alpha} = \int_{-h/2}^{+h/2} \sigma_{\alpha3} dx_{3} = 0$$

Le <u>champ de contrainte</u> (14) est donc le <u>champ de contrainte</u> correspondant à des <u>efforts intérieurs constants</u> en <u>théorie des plaques</u>

(16) 
$$N_{\alpha\beta} = N_{\alpha\beta}^{\circ}$$
,  $C_{\alpha\beta} = C_{\alpha\beta}^{\circ}$ ,  $Q_{\alpha} = 0$ 

en remarquant que les <u>efforts intérieurs</u> donnés par (16) vérifient bien les <u>équations d'équilibre</u> (XXI.18,22 et 26) en l'<u>absence de charges</u> (£ = 1 = 0)

(17) 
$$\sigma_{\alpha\beta} = \frac{N_{\alpha\beta}^{\circ}}{k} + \frac{12 C_{\alpha\beta}^{\circ}}{k^3} x_3 , \quad \sigma_{\alpha3} = \sigma_{33} = 0$$

Pour compléter cette solution, il reste à calculer le champ de déplacement. La loi de comportement (V.34) donne le tenseur des déformations. Compte-tenu de (17) il vient

(18) 
$$\begin{cases} \varepsilon_{\alpha\beta} = \frac{\lambda+\nu}{E} \sigma_{\alpha\beta} - \frac{\nu}{E} \sigma_{\xi\xi} \delta_{\alpha\beta} = \varepsilon_{\alpha\beta}^{\circ} + x_{3} \varepsilon_{\alpha\beta}^{4} \\ \varepsilon_{\alpha3} = 0 , \quad \varepsilon_{33} = -\frac{\nu}{E} \sigma_{\xi\xi} = \varepsilon_{33}^{\circ} + x_{3} \varepsilon_{33}^{4} \end{cases}$$

(19) 
$$\begin{cases} \varepsilon_{\alpha\beta}^{\circ} = \frac{1+\nu}{\varepsilon h} N_{\alpha\beta}^{\circ} - \frac{\nu}{\varepsilon h} N_{\gamma\gamma}^{\circ} \delta_{\alpha\beta} &, & \varepsilon_{33}^{\circ} = -\frac{\nu}{\varepsilon h} N_{\gamma\gamma}^{\circ} \\ \varepsilon_{\alpha\beta}^{\dagger} = \frac{12(1+\nu)}{\varepsilon k} C_{\alpha\beta}^{\circ} - \frac{12\nu}{\varepsilon k} C_{\gamma\gamma}^{\circ} \delta_{\alpha\beta} &, & \varepsilon_{33}^{\dagger} = -\frac{12\nu}{\varepsilon k} C_{\gamma\gamma}^{\circ} \end{cases}$$

L'intégration du champ de déplacements se fait soit directement, soit en appliquant les formules (III.65), et on obtient, à un mouvement de solide rigide près,

(20) 
$$\left\{ \begin{array}{ll} u_{\alpha} = \varepsilon_{\alpha\beta}^{\circ} x_{\beta} + \varepsilon_{\alpha\beta}^{\dagger} x_{\delta} x_{\beta} \\ u_{\beta} = -\frac{1}{2} \varepsilon_{\alpha\beta}^{\dagger} x_{\alpha} x_{\beta} + \left\{ \varepsilon_{33}^{\circ} x_{3} + \frac{1}{2} \varepsilon_{33}^{\dagger} x_{3}^{2} \right\} \end{array} \right.$$

En particulier, pour un point du plan moyen on obtient

(21) 
$$u_{\alpha} = \varepsilon_{\alpha\beta}^{\circ} x_{\beta} \qquad -u_{3} = w = \frac{\lambda}{2} \varepsilon_{\alpha\beta}^{\dagger} x_{\alpha} x_{\beta}$$

En comparant (20) avec (XXI.31) on constate que si l'on pose

alors le déplacement (XXI.31), forme approchée du déplacement en théorie des plaques, ne diffère de la solution exacte que par le terme entre accolades dans (20), càd par l'allongement de la normale. Il était clair dès le départ que la théorie des plaques, qui postule un mouvement de corps rigide pour chaque normale, ne pouvait pas rendre compte de cet allongement. Nous voyons ici, sur ce cas particulier, où se situe l'approximation "théorie des plaques". Au sens de la théorie des plaques, les "déformations" associées au "déplacement" (21),(22) sont données à partir de (XXI.45 & 46) par

(23) 
$$d_{\alpha\beta} = \varepsilon_{\alpha\beta}^{\circ} \qquad k_{\alpha\beta} = \varepsilon_{\alpha\beta}^{\dagger} \qquad \gamma_{\alpha} = 0$$

L'hypothèse de Kirchhoff-Love, § XXI.3.1, est vérifiée.

### 1.3 IDENTIFICATION DE LA LOI ELASTIQUE

A partir des résultats du problème élastique que nous venons de résoudre, nous pouvons déterminer les coefficients de la <u>loi élastique</u> introduite au § 1.1, ou tout au moins <u>certains</u> d'entre eux, car  $Q_{\alpha}$  et  $\gamma_{\alpha}$  étant <u>nuls</u>, on ne peut pas <u>espérer déterminer</u> le coefficient G de (8) ou (9). Comme pour <u>les milieux curvilignes</u>, on peut mettre en oeuvre l'identification énergétique en écrivant

$$\tilde{w}(N_{\alpha\beta}, C_{\alpha\beta}) = \int_{-k/2}^{+k/2} \tilde{w}(\sigma_{\alpha\beta}) dx_3$$

et en <u>reportant</u> (17) dans l'<u>intégrale</u>. Il est <u>cependant</u> plus simple de reporter (19) dans (23), ce qui donne directement la loi de comportement (9)

(25) 
$$\begin{cases} d_{\alpha\beta} = \frac{\lambda+\nu}{Eh} N_{\alpha\beta} - \frac{\nu}{Eh} N_{\chi\chi} \delta_{\alpha\beta} \\ k_{\alpha\beta} = \frac{\lambda^2(\lambda+\nu)}{Eh^3} C_{\alpha\beta} - \frac{\lambda^2\nu}{Eh^3} C_{\chi\chi} \delta_{\alpha\beta} \end{cases}$$

Pour déterminer le <u>coefficient</u> G , il faudrait <u>envisager</u> un <u>autre problème élastique</u> - par exemple celui du § VIII.2.1 - mais cela <u>ne nous intéresse guère</u>, car nous nous limiterons désormais à la <u>théorie des plaques</u> <u>de Love-Kirchhoff</u>, càd à la théorie <u>classique</u> des plaques élastiques. On rajoute alors à (25) la condition

ce qui revient à prendre G nul.

Dans ce cadre, il faudra, pour résoudre un problème de plaque, trouver les déplacements ( $\omega_{\alpha}$ ,  $\omega$ ) et les efforts intérieurs ( $C_{\alpha\beta}$ ,  $N_{\alpha\beta}$ ), soit en tout 9 quantités scalaires, vérifiant

# - les équations d'équilibre

$$(27) N_{\alpha\beta,\beta} + f_{\alpha} = 0$$

$$C_{\alpha\beta,\alpha\beta} - p = 0$$

- les lois de comportement élastiques

(29) 
$$\frac{1}{9}(\mu_{\alpha,\beta} + \mu_{\beta,\alpha}) = \frac{\lambda + \nu}{\epsilon \hbar} N_{\alpha\beta} - \frac{\nu}{\epsilon \hbar} N_{\gamma\gamma} \delta_{\alpha\beta}$$

(30) 
$$w_{,\alpha\beta} = \frac{12(1+\nu)}{523} C_{\alpha\beta} - \frac{12\nu}{533} C_{\chi\chi} \delta_{\alpha\beta}$$

- et les conditions aux limites

$$(31) u_{\alpha} = 0 w = 0 \frac{dw}{dn} = 0$$

pour un bord encastré,

(32) 
$$u_{\alpha} = 0$$
  $w = 0$   $C_{\gamma\beta}V_{\gamma}V_{\beta} = 0$ 

pour un bord appuyé,

(33) 
$$\begin{cases} N_{\alpha\beta} \nu_{\beta} = 0 & C_{\alpha\beta} \nu_{\alpha} \nu_{\beta} = 0 \\ Q_{\alpha} \nu_{\alpha} + \frac{d}{da} (C_{\alpha\beta} \nu_{\alpha} \tau_{\beta}) = 0 \end{cases}$$

pour un <u>bord libre</u>, avec en plus aux <u>points anguleux libres</u> la condition suivante

$$[C_{\alpha\beta} v_{\alpha} \tau_{\beta}] = 0$$

En examinant l'ensemble de ces équations, on constate qu'elles se décou-

plent en deux sous-systèmes. Un problème général de plaque se ramène donc à deux problèmes:

- un problème de "tension" pour déterminer les déplacements et les efforts plans u, Nas

(35) 
$$\begin{cases} N_{\alpha\beta,\beta} + f_{\alpha} = 0 \\ \frac{1}{2}(\mu_{\alpha,\beta} + \mu_{\beta,\alpha}) = \frac{1+\nu}{Eh} N_{\alpha\beta} - \frac{\nu}{Eh} N_{\chi\chi} \delta_{\alpha\beta} \end{cases}$$

Ce problème est un problème d'élasticité plane - plus précisément de contraintes planes - comme on peut le voir en comparant (29) à (VIII.17).

Tout ce que nous avons fait aux chapitres VIII et IX s'applique donc directement à ce problème dont nous ne parlerons pas davantage.

- un problème de "flexion" pour la <u>flèche</u> w et le <u>tenseur des moment</u>s Cαβ.
Nous nous <u>limiterons</u> désormais à ce <u>seul</u> problème.

# 1.4 THEORIE CLASSIQUE DES PLAQUES EN FLEXION

Un problème de flexion de plaque revient donc à trouver w et  $C_{\alpha\beta}$  fonctions de  $(x_1,x_2)$  et vérifiant .

- l'équation d'équilibre

$$C_{\alpha\beta,\alpha\beta} = \gamma$$

- la loi de comportement

(37) 
$$w_{\alpha\beta} = \frac{12(1+\nu)}{E R^3} C_{\alpha\beta} - \frac{12\nu}{E R^3} C_{YY} \delta_{\alpha\beta}$$

- les conditions aux limites

(38) 
$$w = 0 \quad \text{ou} \quad C_{\alpha\beta,\beta} v_{\alpha} + \frac{d}{ds} (C_{\alpha\beta} v_{\alpha} \tau_{\beta}) = 0$$

$$\frac{dw}{dm} = 0 \quad \text{ou} \quad C_{\alpha\beta} v_{\alpha} v_{\beta} = 0$$

$$\text{sur 3S}$$

(40) 
$$w = 0$$
 ou  $\left[ C_{\alpha \beta} v_{\alpha} \tau_{\beta} \right] = 0$  aux points anguleux

Ces <u>conditions aux limites</u> peuvent paraître <u>un peu compliquées</u>. Néanmoins, ce sont les <u>conditions aux limites</u> qu'il <u>faut imposer</u> pour obtenir un <u>problème bien posé</u>.

En composantes les équations (36) et (37) s'écrivent

(41) 
$$\frac{\partial^2 C_{44}}{\partial x_2^4} + \frac{\partial^2 C_{32}}{\partial x_2^2} + 2 \frac{\partial^2 C_{42}}{\partial x_4 \partial x_2} = 0$$

(42) 
$$\begin{cases} \frac{\partial^2 w}{\partial x_4^3} = \frac{\lambda^2}{E h^3} \left( C_{44} - \nu C_{22} \right) \\ \frac{\partial^2 w}{\partial x_4 \partial x_2} = \frac{\lambda^2 (\lambda + \nu)}{E h^3} C_{42} \end{cases}$$

On peut inverser la loi de comportement (37) ou (42) pour écrire

(43) 
$$C_{\alpha\beta} = \frac{E h^{3}}{\lambda 2(\lambda + \nu)} \left[ w_{,\alpha\beta} + \frac{\nu}{\lambda - \nu} w_{,\gamma\gamma} \delta_{\alpha\beta} \right]$$

$$C_{\lambda\lambda} = \frac{E h^{3}}{\lambda 2(\lambda - \nu^{2})} \left[ \frac{\partial^{2} w}{\partial x_{\lambda}^{2}} + \nu \frac{\partial^{2} w}{\partial x_{\lambda}^{2}} \right] \qquad C_{\lambda\lambda} = ...$$

$$C_{\lambda\lambda} = \frac{E h^{3}}{\lambda 2(\lambda + \nu)} \frac{\partial^{2} w}{\partial x_{\lambda} \partial x_{\lambda}}$$

Enfin, en reportant (43) dans (36) on va obtenir l'équation pour la flèche w

$$\frac{E h^{3}}{12(1+\nu)} \left[ w_{,\alpha\beta\alpha\beta} + \frac{\nu}{1-\nu} w_{,\chi\chi\alpha\alpha} \right] = p$$

$$(45) \qquad w_{,\alpha\alpha\beta\beta} = \Delta\Delta w = \frac{p}{2}$$

où D est la rigidité de la plaque à la flexion

$$\mathfrak{D} = \frac{E h^3}{\lambda 2 (\lambda - v^2)}$$

C'est une équation aux dérivées partielles du 4ème ordre, qui fait apparaître, comme dans les problèmes d'élasticité plane (voir Chapitre VIII), 1'opérateur bilaplacien. Ce sont des problèmes mathématiques bien connus. Cependant, il est en général impossible d'obtenir des solutions analytiques, sauf pour quelques géométries simples (plaques circulaires avec chargement de révolution, que nous envisagerons au § 3; plaques rectangulaires, pour lesquelles on obtient des solutions par développement en série de Fourier). Ceci justifie l'<u>intérêt</u> des méthodes approchées ou numériques qui, comme en MMC, font l'objet des méthodes variationnelles

# 2. METHODES VARIATIONNELLES

## 2.1 CONCEPTS GENERAUX

Comme pour les milieux curvilignes, les résultats obtenus en MMC au chapitre IX s'étendent à la théorie des plaques sans modifications majeures. Il suffit d'adapter les notations. Nous nous limiterons à une présentation rapide, sans démonstrations détaillées, car celles-ci paraphrasent celles du chapitre IX. Nous nous limiterons à la théorie classique des plaques en flexion. Nous cherchons donc w et  $C_{a,b}$  vérifiant les équations (36),(37) et les conditions aux limites (38),(39),(40). Nous considérons une plaque occupant un domaine  $\Omega$  de frontière  $\Gamma$  et nous supposerons que  $\Gamma$  se décompose en trois parties  $\Gamma_e$ ,  $\Gamma_a$  et  $\Gamma_l$ , où la plaque est respectivement encastrée, appuyée et libre, cette dernière comportant un certain nombre de points anguleux  $A_l$ ,  $l=1,\ldots m$ .

Définition 1. Un champ statiquement admissible (CSA) est un champ de tenseurs moments  $\hat{C}_{\alpha\beta}$  vérifiant les conditions statiques  $(\hat{Q}_{\alpha\beta} = \hat{C}_{\alpha\beta,\beta})$ 

(47) 
$$\begin{cases} \widehat{C}_{\alpha\beta,\alpha\beta} = p & \text{dans } \Omega \\ \widehat{Q}_{\alpha} \nu_{\alpha} + \frac{d}{ds} (\widehat{C}_{\alpha\beta} \nu_{\alpha} \tau_{\beta}) & \text{sur } \Gamma_{\ell} \\ \widehat{C}_{\alpha\beta} \nu_{\alpha} \nu_{\beta} = 0 & \text{sur } \Gamma_{\ell} \nu_{\alpha} \\ \widehat{C}_{\alpha\beta} \nu_{\alpha} \nu_{\beta} = 0 & \text{aux points } A_{\ell} \end{cases}$$

Définition 2. Un champ cinématiquement admissible (CCA) est un champ w vérifiant les conditions aux limites de type cinématique

Pour résoudre un <u>problème de plaques</u>, il faut <u>trouver un CCA</u> et <u>un CSA</u> vérifiant la loi de comportement. Comme en MMC, on démontre alors

Lemme fondamental. Soit  $\hat{c}_{\alpha\beta}$  un <u>CSA</u> et  $\hat{w}$  un champ de déplacements <u>virtuels</u> quelconque

(49) 
$$\iint_{\Omega} \widehat{C}_{\alpha\beta} \vec{w}_{,\alpha\beta} dS = \iint_{\Omega} p \vec{w} dS - \oint_{\Gamma} (\widehat{T} - \frac{d \hat{m}}{ds}) \vec{w} ds + \oint_{\Gamma} \widehat{m}_{z} \frac{d \vec{w}}{dn} ds + \sum [\widehat{m}_{z}]_{z} \vec{w}_{z}$$

où l'on a posé

(50) 
$$\begin{cases} \hat{T} = \hat{Q}_{\alpha} V_{\alpha} & , & \hat{Q}_{\alpha} = \hat{C}_{\alpha\beta,\beta} \\ \hat{m}_{\nu} = C_{\alpha\beta} V_{\alpha} \tau_{\beta} & , & \hat{m}_{\tau} = C_{\alpha\beta} V_{\alpha} V_{\beta} \end{cases}$$

Ce <u>lemme</u> se démontre <u>exactement</u> comme le <u>théorème des travaux virtue</u>ls du § XXI.2.2 <u>complété par les calculs du </u>§ XXI.3.2 . Si l'on introduit les <u>espaces</u> suivants.

. & espace des chargements

$$\varphi = (p, \hat{\tau} - \frac{d\hat{m}_{v}}{ds}, \hat{m}_{\tau}, [\hat{m}_{v}]_{z}) \in \mathcal{E}$$

. 9 espace des <u>déformations</u>

$$\varepsilon = (\hat{w}_{,\alpha\beta} = k_{\alpha\beta}) \in \mathcal{D}$$

. Y espace des efforts intérieurs

$$\sigma = (C_{\alpha\beta}) \in \mathcal{S}$$

on retrouve la <u>structure algébrique</u> habituelle (voir § IX.1.1 et XVI.2.1) et le <u>théorème</u> des travaux virtuels s'écrit

En prenant comme CSA  $\hat{C}_{\alpha\beta}$  le champ solution  $C_{\alpha\beta}$ , on retrouve le théorème des travaux virtuels

(52) 
$$\int_{\Omega} C_{\alpha\beta} \tilde{w}_{,\alpha\beta} dS = \int_{\Omega} \rho \tilde{w} dS - \oint_{\Gamma} \left(T - \frac{dm_{\nu}}{ds}\right) \tilde{w} ds + \oint_{\Gamma} m_{\tau} \frac{d\tilde{w}}{dn} ds + \sum_{i} [m_{\nu}]_{i} \tilde{w}_{i}$$

Si l'on prend comme <u>champ de déplacements virtuels</u> un <u>CCA</u>, alors, d'après les <u>conditions aux limites</u> (31) à (34), le <u>travail des efforts de contact</u> s'annule et il reste seulement

(53) 
$$\iint_{\Omega} \widehat{C}_{\alpha\beta} \widetilde{w}_{,\alpha\beta} ds = \iint_{\Omega} \eta \widetilde{w} ds$$

### 2.2 THEOREMES ENERGETIQUES

L'<u>énergie potentielle</u> d'un <u>CCA</u>  $\overset{\sim}{w}$  est <u>définie</u> par

(54) 
$$K(\tilde{w}) = W(\tilde{w}) - T_f^{d}(\tilde{w})$$

soit, d'après (43),

(55) 
$$K(\widetilde{w}) = \frac{E h^3}{24(1+\nu)} \iint_{\Omega} \left[\widetilde{w}_{,\alpha\beta}\widetilde{w}_{,\alpha\beta} + \frac{\nu}{1-\nu}\widetilde{w}_{,\alpha\alpha}\widetilde{w}_{,\beta\beta}\right] dS - \iint_{\Omega} \eta \widetilde{w} dS$$

De même, l'énergie complémentaire d'un CSA C, donnée par

(56) 
$$H(\hat{c}_{\alpha\beta}) = T_{\mu}^{d}(\hat{c}_{\alpha\beta}) - W(\hat{c}_{\alpha\beta})$$

se réduit, <u>comme en RDM</u>, à l'énergie de déformation (puisque les <u>déplace</u>ments imposés sont nuls)

(57) 
$$H(\widehat{C}_{\alpha\beta}) = -\frac{6}{\epsilon h^3} \iint_{\Omega} \left[ (\lambda + \nu) \, \widehat{C}_{\alpha\beta} \, \widehat{C}_{\alpha\beta} - \nu \, \widehat{C}_{\alpha\alpha} \, \widehat{C}_{\beta\beta} \right] dS$$

Et <u>on démontre</u>, <u>exactement</u> comme <u>en MMC</u>, les <u>théorèmes variationnels</u> suivants

Théorème de l'énergie potentielle. Parmi tous les CCA, le champ solution minimise l'énergie potentielle.

Théorème de l'énergie complémentaire. Parmi tous les CSA, le champ solution maximise l'énergie complémentaire.

Théorème de comparaison. Pour le champ solution, l'énergie potentielle est égale à l'énergie complémentaire.

On peut résumer ces trois théorèmes par la chaîne d'inégalités suivante

(58) 
$$H(\hat{C}_{\alpha\beta}) \leq H(C_{\alpha\beta}) = K(w) \leq K(\tilde{w})$$

On démontre <u>également</u>, en appliquant le <u>théorème des travaux virtuels</u> au déplacement <u>solution</u>

Théorème du travail. L'énergie de déformation est égale à la moitié du travail des efforts appliqués dans le déplacement solution

(59) 
$$W = \frac{1}{2} \iint_{\Omega} C_{\alpha\beta} w_{,\alpha\beta} dS = \frac{1}{2} \iint_{\Omega} \rho w dS$$

Enfin, on démontre également

Théorème d'existence et d'unicité. Le problème de plaque défini par (31) à (34) admet une solution unique sitôt que le est non vide ou que la ne se réduit pas à un segment de droite.

L'utilisation de <u>ces théorèmes</u> est la même qu'en <u>mécanique des milieux continus</u> (Ch. IX). <u>D'une part ils permettent des calculs approchés par encadrement de la solution. D'autre part le théorème de l'énergie potentielle engendre directement des <u>méthodes numériques</u>. En particulier on peut construire des <u>méthodes d'éléments finis</u> comme nous l'avons fait au § IX.3.! Une <u>difficulté supplémentaire</u> apparaît <u>néanmoins</u> car la <u>présence</u> de <u>dérivées secondes</u> dans l'expression (55) de K( $\widetilde{\mathbf{w}}$ ) entraîne la né-</u>

cessité d'assurer la continuité des dérivées premières entre deux éléments adjacents, ce qui pose quelques problèmes.

Enfin, les <u>deux théorèmes de Maxwell-Betti</u> et <u>Castigliano</u> restent <u>vrais</u> pour les <u>plaques</u>. Soit donc <u>une plaque</u> pouvant être soumise à <u>deux chargements</u>  $n^{(4)}$  et  $n^{(2)}$ .

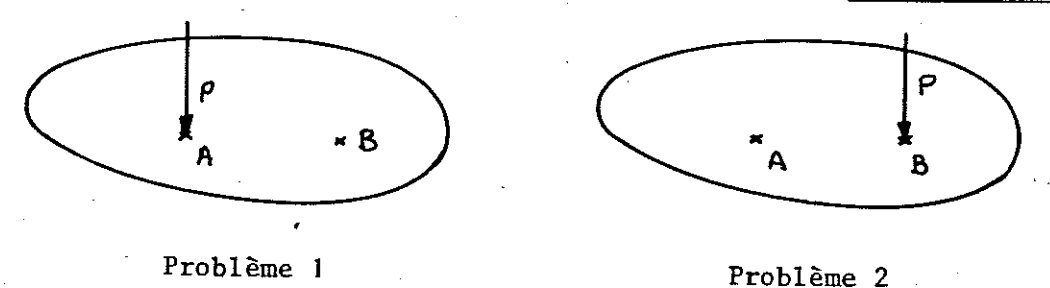
Théorème de réciprocité ou de Maxwell-Betti. Le <u>travail</u> du <u>chargement</u> l dans le <u>déplacement</u> 2 est égal au <u>travail</u> du <u>chargement</u> 2 dans l<u>e déplacement</u> l

(60) 
$$\iint_{\Omega} p^{(4)} w^{(2)} dS = \iint_{\Omega} p^{(2)} w^{(4)} dS$$

Théorème de Castigliano. Soit  $\widehat{\mathcal{C}}_{\alpha\beta}^{2}$  un CSA pour le problème 2

(61) 
$$\int_{\Omega} p^2 n v^4 dS = \frac{d}{d\lambda} \left\{ W(C_{\alpha\beta}^4 + \lambda \hat{C}_{\alpha\beta}^2) \right\} \Big|_{\lambda=0}$$

Comme en RDM, on utilise <u>surtout</u> <u>ces théorèmes</u> en appliquant des <u>charges</u> concentrées. Par exemple, il <u>résulte</u> directement du <u>théorème</u> de <u>récipro-</u>



cité que, pour une plaque donnée, le déplacement créé en B par une force P appliquée en A est égal au déplacement créé en A par cette même force P appliquée en B.

# 3. PLAQUES CIRCULAIRES

Nous allons terminer cette rapide présentation de la <u>théorie</u> des plaques par l'étude de <u>quelques exemples</u>. Nous <u>nous limiterons</u> aux <u>plaques circulaires</u> soumises à un <u>chargement</u> ayant la <u>symétrie de révolution</u>

$$h = h(r)$$

D'après la symétrie de révolution du problème,

(62) 
$$w = w(v)$$

En notant d'un ' la <u>dérivée</u> par <u>rapport</u> à r, on obtient pour les <u>déformations</u>

$$w_{id} = w'(t) \frac{sc_d}{t}$$

(63) 
$$w_{,\alpha\beta} = w''(x) \frac{x_{\alpha} x_{\beta}}{x^{2}} + \frac{w'(x)}{x} \left[ \delta_{\alpha\beta} - \frac{x_{\alpha} x_{\beta}}{x^{2}} \right]$$

soit, dans le <u>repère local</u> des <u>coordonnées cylindriques</u> (  $\vec{e}_{i}$  ,  $\vec{e}_{g}$  ),

Dans ce même repère on a pour les <u>efforts intérieurs</u>, toujours d'après la <u>symétrie</u>,

(65) 
$$Q = \begin{bmatrix} Q(t) \\ 0 \end{bmatrix} \qquad C = \begin{bmatrix} A(t) & 0 \\ 0 & B(t) \end{bmatrix}$$

soit, sous forme de composantes,

(66) 
$$\begin{cases} Q_{\alpha} = Q(x) \frac{x_{\alpha}}{x} \\ C_{\alpha\beta} = A(x) \frac{x_{\alpha}x_{\beta}}{x^{2}} + b(x) \left[ \delta_{\alpha\beta} - \frac{x_{\alpha}x_{\beta}}{x^{2}} \right] \end{cases}$$

L'équation d'équilibre (XXI.22) donne

(67) 
$$Q_{\alpha,\alpha} = p$$

$$Q_{\alpha,\beta} = \left(Q(r) \frac{x_{\alpha}}{r}\right)_{,\beta} = Q'(r) \frac{x_{\alpha}x_{\beta}}{r^{2}} + \frac{Q(r)}{r} \left[\delta_{\alpha\beta} - \frac{x_{\alpha}x_{\beta}}{r^{2}}\right]$$

$$Q_{\alpha,\alpha} = Q'(r) + \frac{Q(r)}{r} = \frac{1}{r} \left(r Q(r)\right)'$$

L'équation d'équilibre (66) donne

$$\frac{1}{2} \left( r Q \right)' = \uparrow r$$

soit, par intégration,

(70) 
$$Q(r) = -\frac{1}{r} \int_{r}^{r} \rho \, p(\rho) \, d\rho + \frac{C}{r}$$

la constante C étant nulle pour que Q soit borné en r=0 (sauf dans le cas d'une plaque annulaire). On peut interpréter (70) en remarquant qu'elle

exprime seulement l'équilibre d'un disque de rayon r.

La seconde Equation d'équilibre (XXI.26)

$$C_{\alpha(\beta_1,\beta_2)} - Q_{\alpha} = 0$$



donne, avec (66),

(72) 
$$C_{\alpha(\beta),\beta} = \left(A'(x) + \frac{A-\beta}{x}\right) \frac{\alpha_{\alpha}}{x} = \left(\frac{A}{x}(xA)' - \frac{\beta}{x}\right) \frac{\alpha_{\alpha}}{x}$$

$$\frac{1}{x}\left(xA(x)\right)' - \frac{\beta}{x} = Q(x)$$

<u>equation</u> qui, avec (70), donne une <u>relation</u> entre A et B.

La loi de comportement (44) donne, à partir de (64) et (65),

(73) 
$$\begin{cases} A(t) = D \left[ w''(t) + v \frac{m'(t)}{t} \right] \\ B(t) = D \left[ \frac{m'(t)}{t} + v m''(t) \right] \end{cases}$$

où D est donné par (46). En <u>reportant</u> dans (73), on obtient pour w une <u>équation différentielle</u> du 3ème ordre

avec comme conditions aux limites

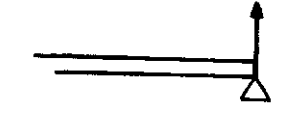
$$(75) w = 0$$

w' = 0

pour un encastrement,

$$(76) w = 0$$

 $\mathfrak{M}_{\tau} = A = 0$ 



pour un appui simple, et

$$T = Q = 0$$

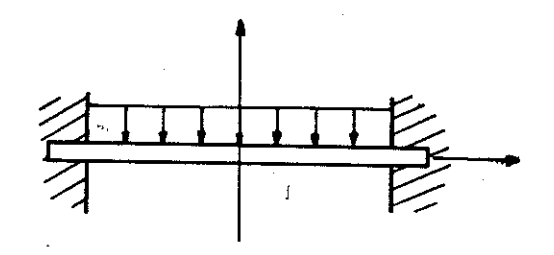
A = 0

pour un bord libre, en remarquant que, d'après la forme (65) du tenseur des moments

$$(78) \qquad \qquad \mathfrak{M}_{v} = C_{2\theta} = 0$$

# 3.2 EXEMPLES

Exemple I. Comme premier exemple, nous considérons un disque circulaire de rayon R, encastré sur sa périphérie et soumis à une charge puniforme.



La relation (70) donne pour Q

et l'équation différentielle (74) donne pour w(x)

(80) 
$$\left(r w''(r)\right)' - \frac{w'}{r} = \frac{\dagger r^2}{2D}$$

Cette équation s'intègre directement

$$\left( n w'' \right)' - \frac{w'}{n} = n \left[ w'' + \frac{w''}{n} - \frac{w'}{n^2} \right] = n \left[ w'' + \frac{w'}{n} \right]'$$

$$= n \left[ \frac{\lambda}{n} (n w')' \right]'$$

$$(81)$$

de sorte que (80) donne successivement

$$\left[\frac{1}{r}(rw')'\right]' = \frac{\pi r}{2D} \implies \frac{1}{r}(rw')' = \frac{\pi r^2}{4D} + a$$

$$(rw')' = \frac{\pi r^3}{4D} + ar \implies rw' = \frac{\pi r^4}{16D} + \frac{ar^2}{2} + b$$

$$w' = \frac{\pi r^3}{16D} + \frac{ar}{2} + \frac{b}{r} \implies w = \frac{\pi r^4}{64D} + \frac{ar^2}{4} + b \log r + c$$

La constante k disparaît car w doit être borné en r=0 . On obtient donc finalement

(82) 
$$w = \frac{\pi r^4}{64D} + \frac{a r^2}{4} + c$$

Les <u>deux constantes d'intégration</u> s'<u>obtiennent</u> en <u>écrivant</u> les <u>conditions</u> aux limites en r=R

(83) 
$$w(R) = 0 \qquad w'(R) = 0$$

$$\frac{h R^{4}}{64 D} + \frac{a R^{2}}{4} + c = 0$$

$$\frac{h R^{3}}{46 D} + \frac{a R}{2} \qquad = 0$$

$$\begin{cases} a = -\frac{h R^{2}}{8 D} \\ c = \frac{h R^{4}}{64 D} \end{cases}$$

soit finalement

(85) 
$$w = \frac{h (R^2 - x^2)^2}{64 D}$$

les efforts intérieurs étant donnés par (79) et

(86) 
$$\begin{cases} C_{nx} = A(x) = \frac{1}{16} \left[ 3x^2 - R^2 + v(x^2 - R^2) \right] \\ C_{\theta\theta} = B(x) = \frac{1}{16} \left[ x^2 - R^2 + v(3x^2 - R^2) \right] \end{cases}$$

On en déduit les densités de réaction d'appui et de moment d'encastrement

(87) 
$$T = \frac{1}{2}R$$
 
$$C_{n_k} = \frac{1}{8}R^2$$
 pour  $r = R$ 

Le dimensionnement se fait à partir de la répartition de contraintes (17)

(88) 
$$\sigma_{\alpha\beta} = \frac{\lambda^2 C_{\alpha\beta}}{k^3} x_3$$

obtenue pour le problème du § 1.2, mais qui reste <u>valable</u> en <u>première</u>

<u>approximation</u> dans le <u>cas général</u>. Les <u>contraintes maximales</u> seront donc

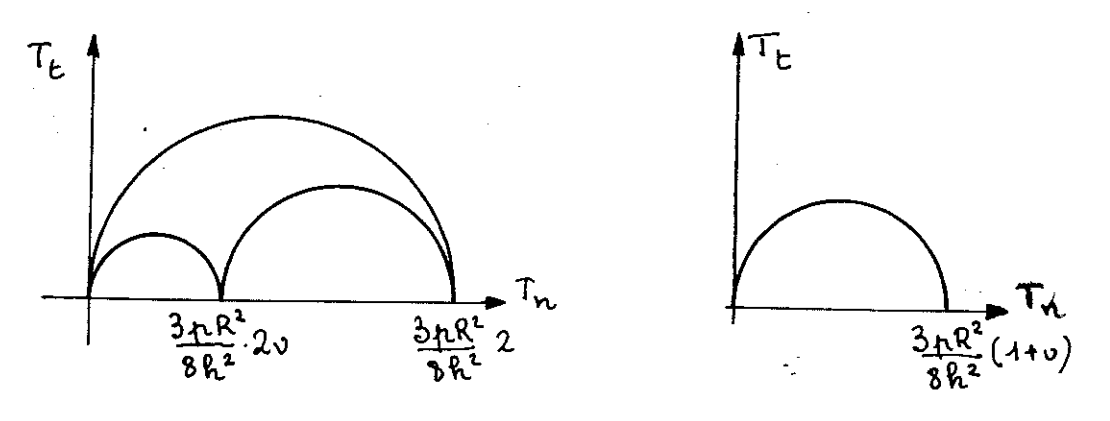
<u>atteintes</u> en  $\alpha_3 = \pm \hbar/2$ 

(89) 
$$\begin{cases} \sigma_{xx} = \pm \frac{3 + \mu}{8 R^2} \left[ (3 + \nu) x^2 - (A + \nu) R^2 \right] \\ \sigma_{\theta\theta} = \pm \frac{3 + \mu}{8 R^2} \left[ (A + 3\nu) x^2 - (A + \nu) R^2 \right] \end{cases}$$

$$\sigma_{xx} \qquad \sigma_{\theta\theta} \qquad 2 \frac{3 + R^2}{8 R^2}$$

$$(1 + \nu) \frac{3 + R^2}{8 R^2}$$

Les points <u>les plus sollicités</u> sont <u>le centre de la plaque</u> et <u>sa périphérie</u>. Les <u>tricercles de Mohr correspondants</u> sont

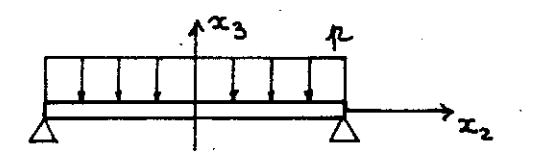


Si l'on adopte le <u>critère de limite</u> d'<u>élasticité</u> de <u>Tresca</u>, les <u>points</u> <u>critiques</u> seront à la <u>périphérie</u> et la <u>condition</u> de <u>dimensionnement</u> s'écrira

(90) 
$$\frac{3 p R^2}{4 h^2} \leqslant \sigma_e$$
 ,  $h \gg \sqrt{\frac{4 \sigma_e}{3 p}} R$ 

### Exemple 2.

Plaque appuyée, charge répartie uniforme.



Tout ce qui <u>précède</u> reste <u>valable</u> jusqu'à (82) et il faut <u>remplacer</u> les CL (83) par

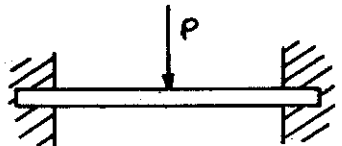
(91) 
$$w(R) = 0 \qquad A(R) = 0$$

(92) 
$$\begin{cases} \frac{7 R^4}{64 D} + \frac{a R^2}{4} + c = 0 \\ \frac{(3+\nu) 7 R^2}{46 D} + \frac{(\lambda+\nu) a}{2} = 0 \end{cases}$$

système qui donne directement a et c, le reste de l'analyse se poursuivant comme précédemment.

## Exemple 3.

Plaque encastrée, charge concentrée.



On peut, soit utiliser (70) en <u>prenant pour densité</u> pune <u>masse de Dirac</u>, soit écrire plus simplement l'<u>équilibre d'un disque</u> de rayon R et il vient

(93) 
$$Q(\tau) = \frac{\rho}{2\pi\tau}$$

Il reste uniquement à intégrer (74) qui, compte-tenu de (81), s'écrit

(94) 
$$\left[\frac{1}{2}(2m')'\right]' = \frac{P}{2\pi 2D}$$

ce qui donne finalement

(95) 
$$w = + \frac{P}{4\pi D} \left\{ \frac{r^2}{2} \log \frac{r}{a} - \frac{v^2}{4} + c \right\}$$

Les CL (83) permettent alors de <u>déterminer</u> les deux <u>constantes d'intégration</u> a et c.